

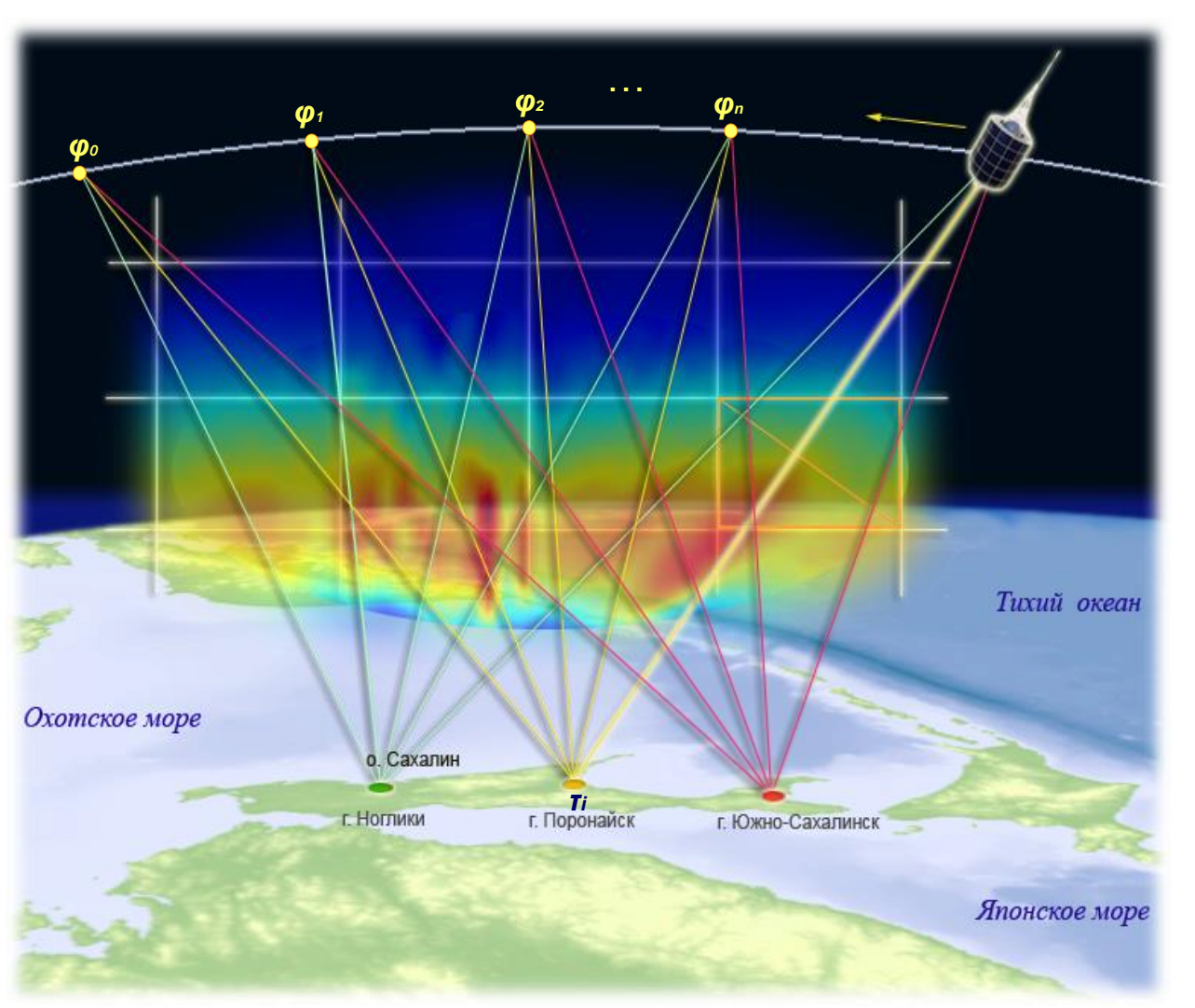
Исследование перемещающихся ионосферных возмущений по данным мониторинга ионосферы методом низкоорбитальной радиотомографии

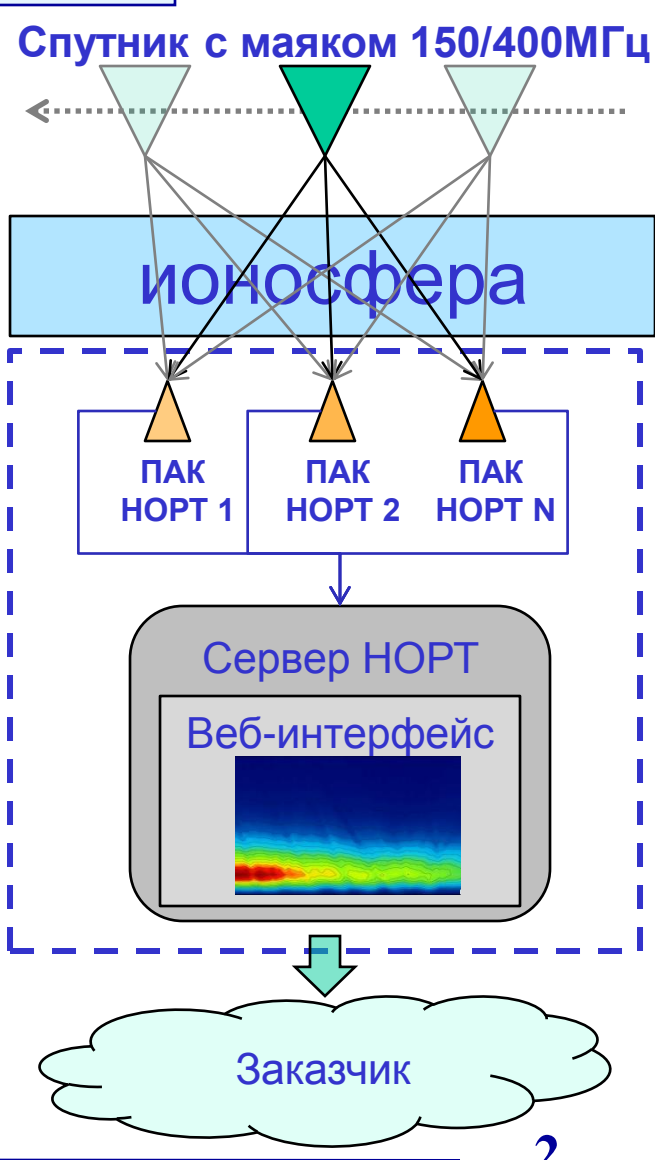
Барабошкин О.И., Трусов С.В., Романов А.А. ОАО «Российские космические системы»



Общие принципы низкоорбитальной радиотомографии ионосферы (НОРТ)



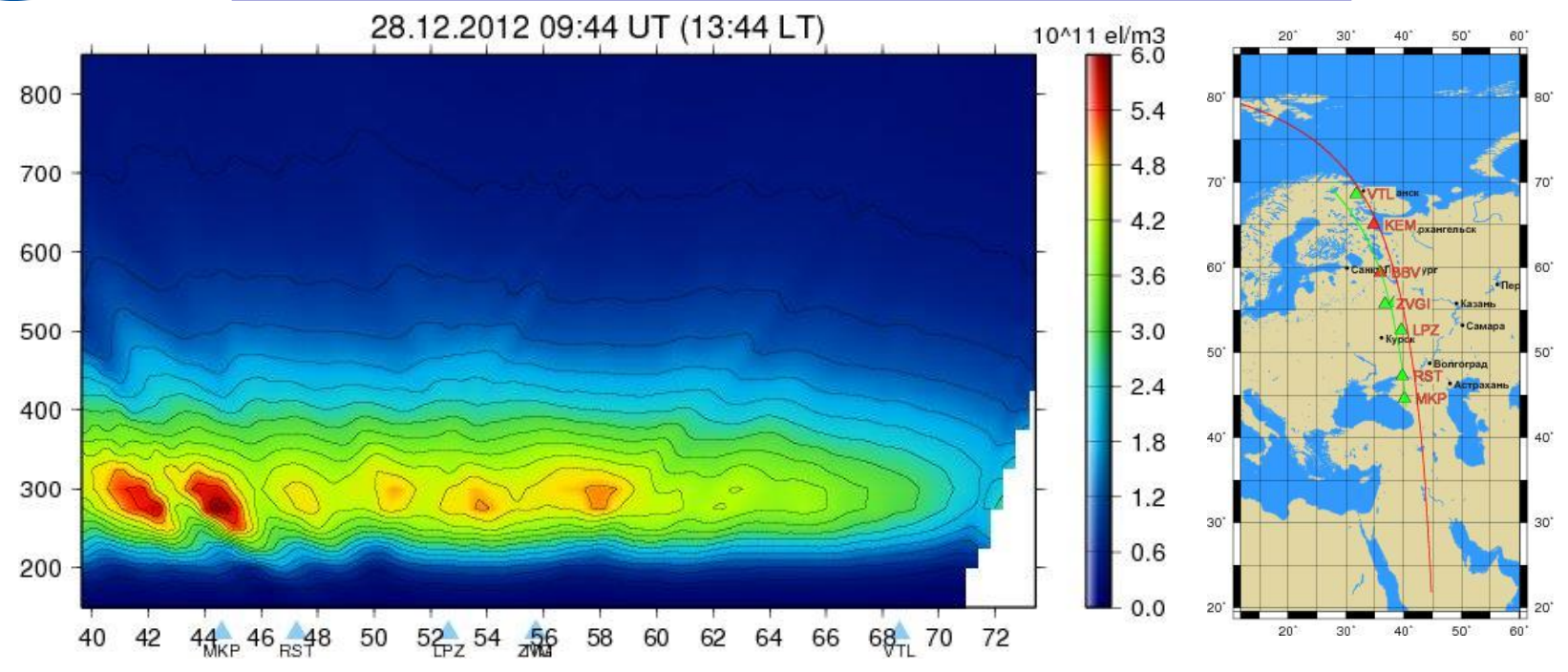




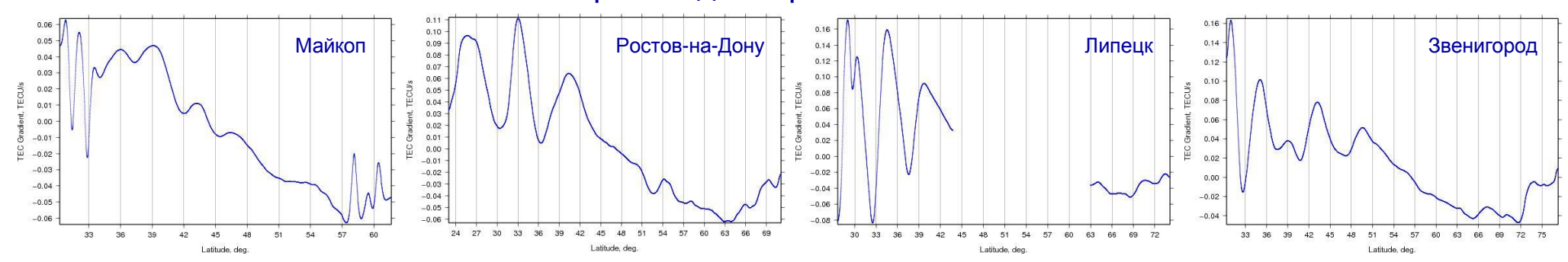


Перемещающиеся ионосферные возмущения





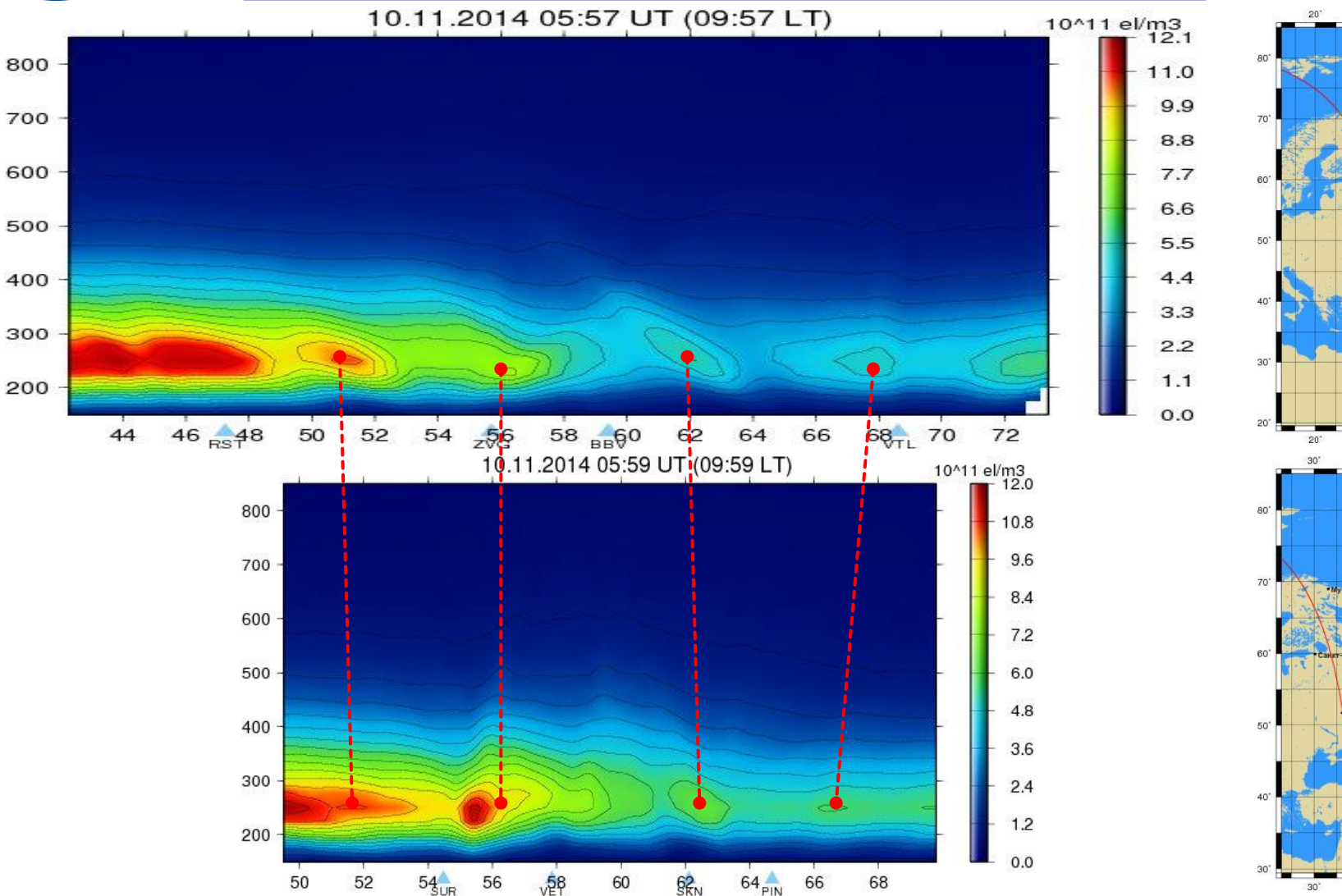
Производная фазы сигнала

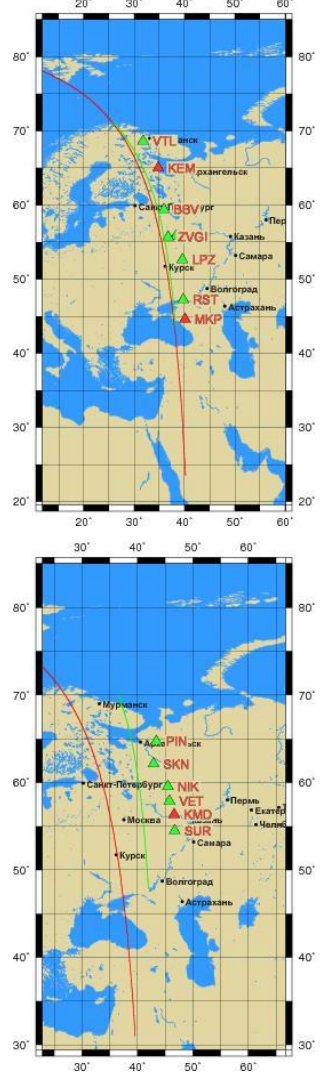




Перемещающиеся ионосферные возмущения



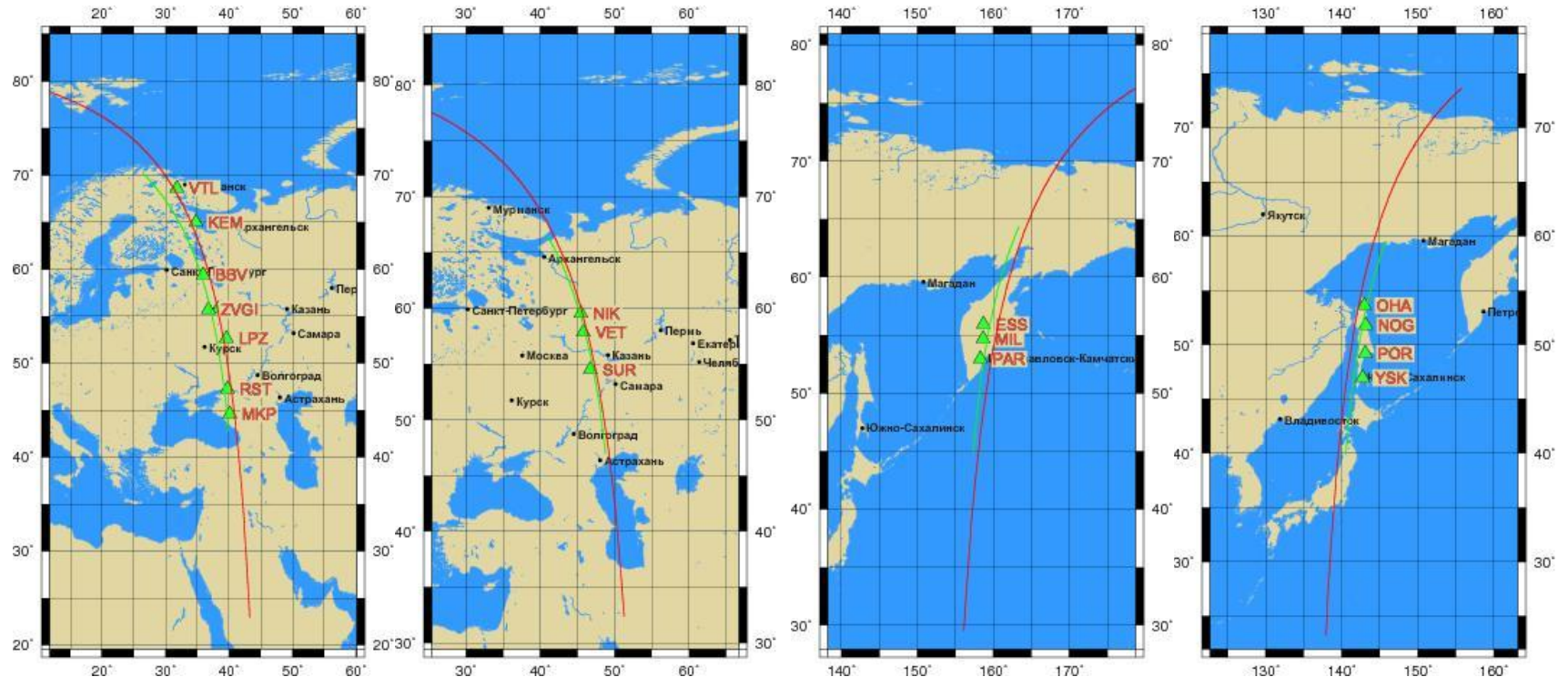






Расположение томографических цепочек и сбор данных в 2011-2014 гг.





Цепочка	Верхнетуломский-	Никольск-	Эссо-	Оха-
	Майкоп	Сурское	Паратунка	Южно-Сахалинск
Период	декабрь 2011 –	декабрь 2012 –	август 2011 -	август 2011 -
эксплуатации	ноябрь 2014	ноябрь 2014	февраль 2012	февраль 2012
Количество томограмм	3184	2308	1182	1181

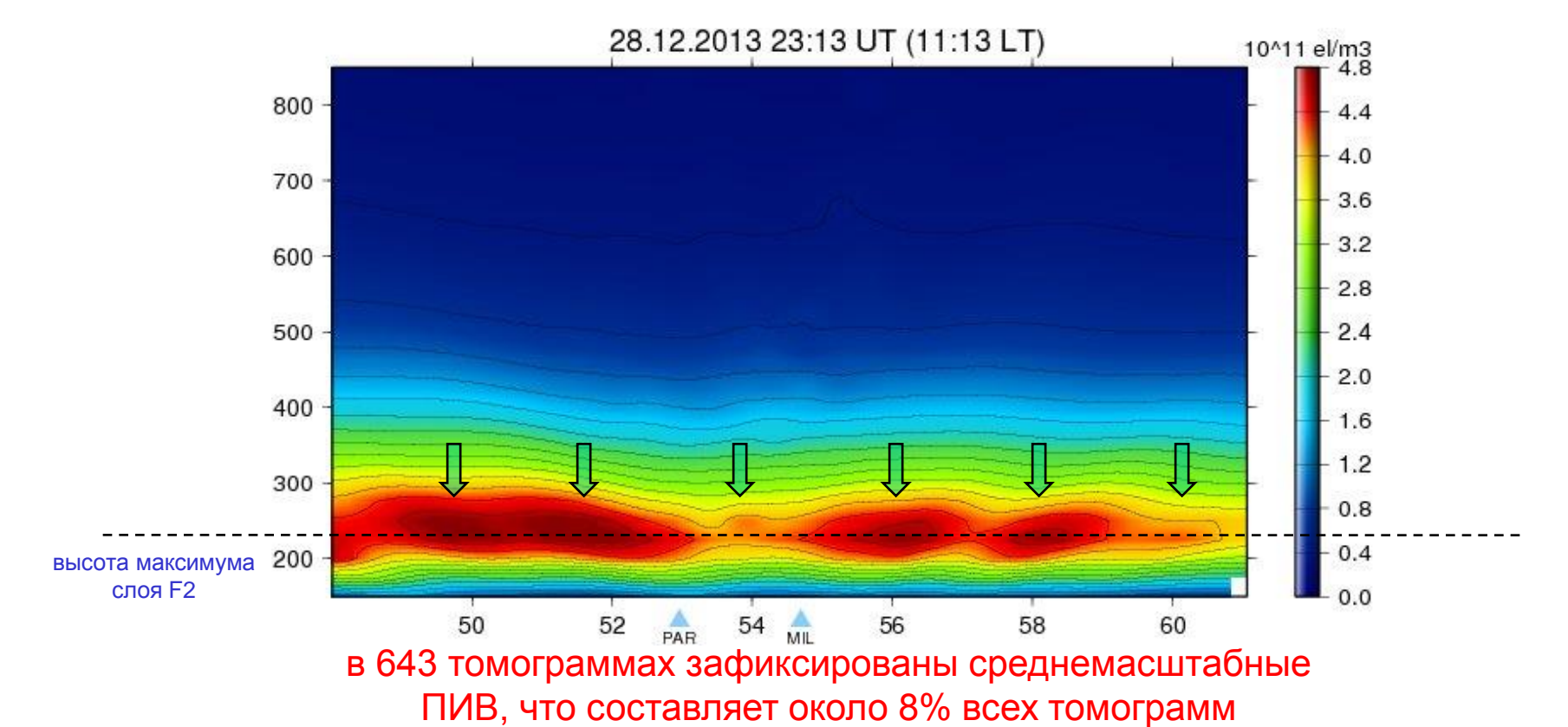
Всего: 7855 томограмм



Алгоритм обнаружения ПИВ в томограмме



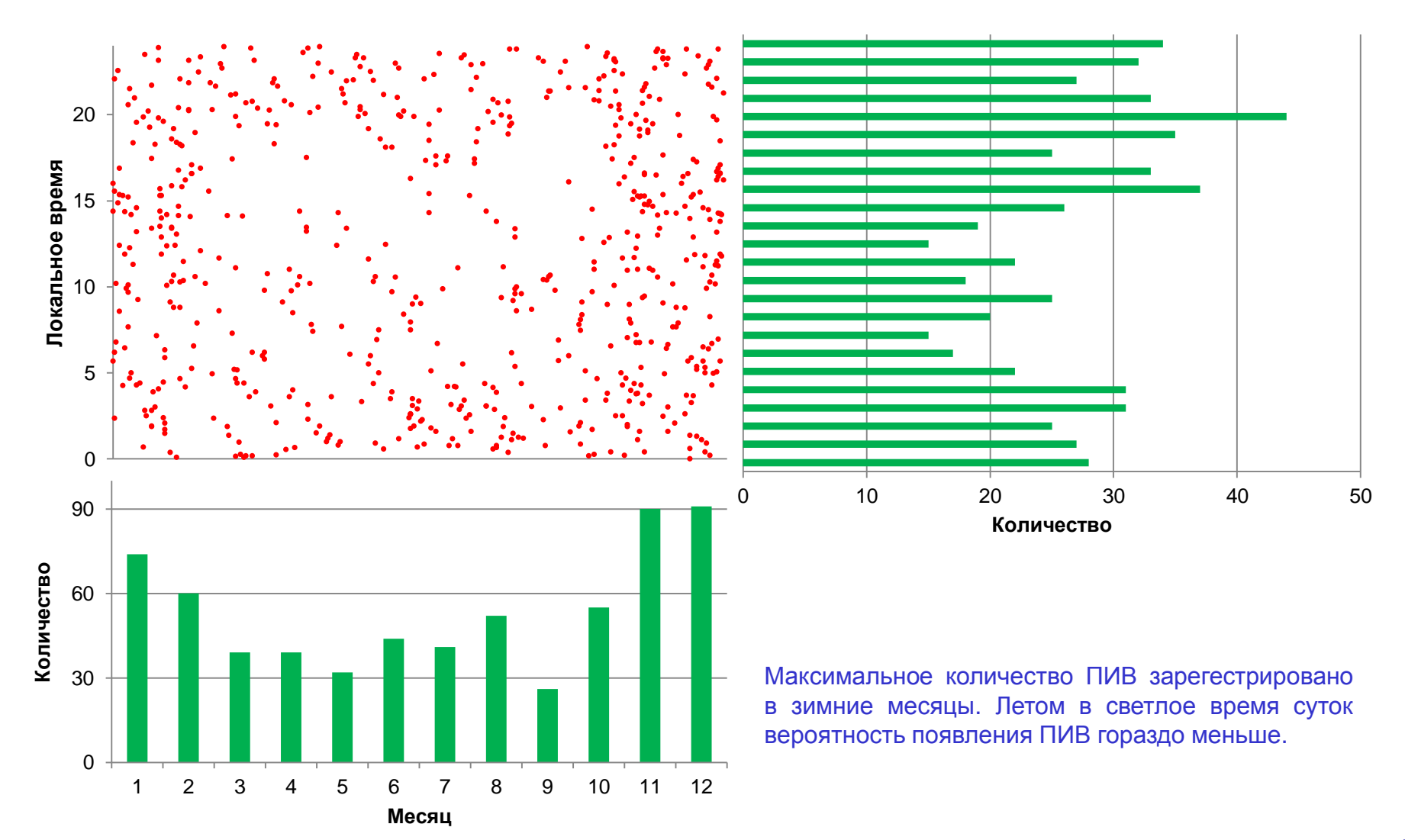
На высоте максимума слоя F2 выполняется поиск локальных максимумов. Если количество максимумов больше двух и расстояние между ними одинаковое (разность не более ширины ячейки реконструкции), то считается что на томограмме зафиксировано ПИВ.





Время появления

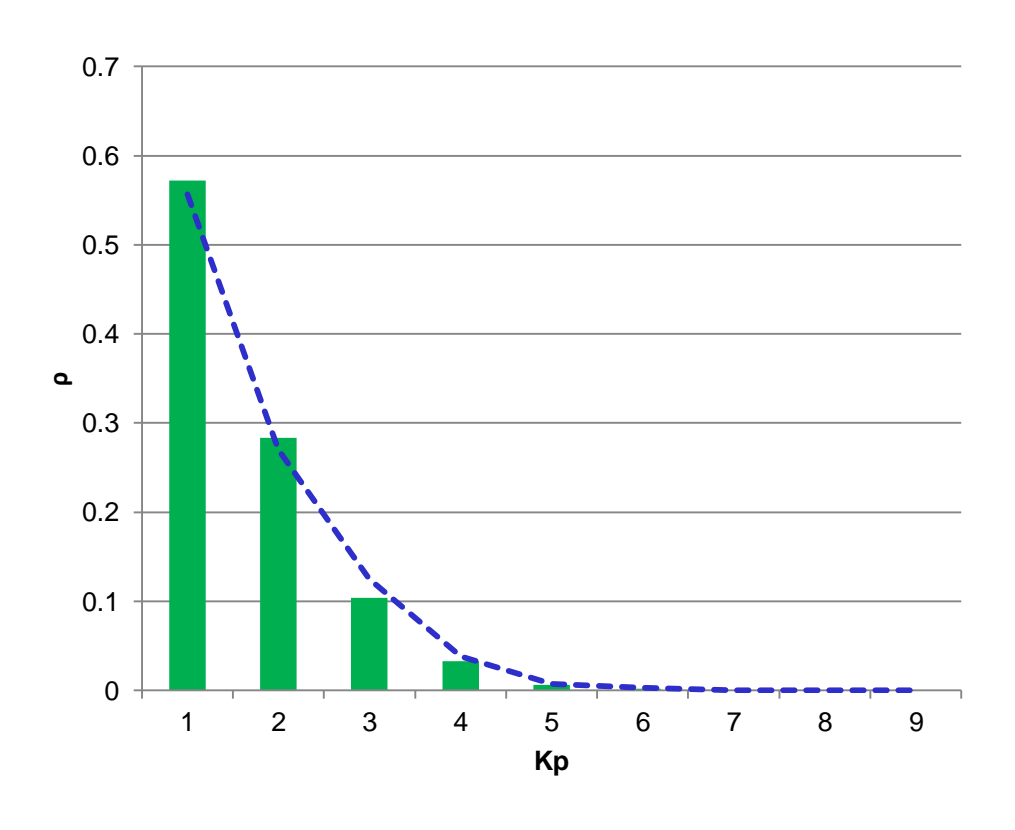


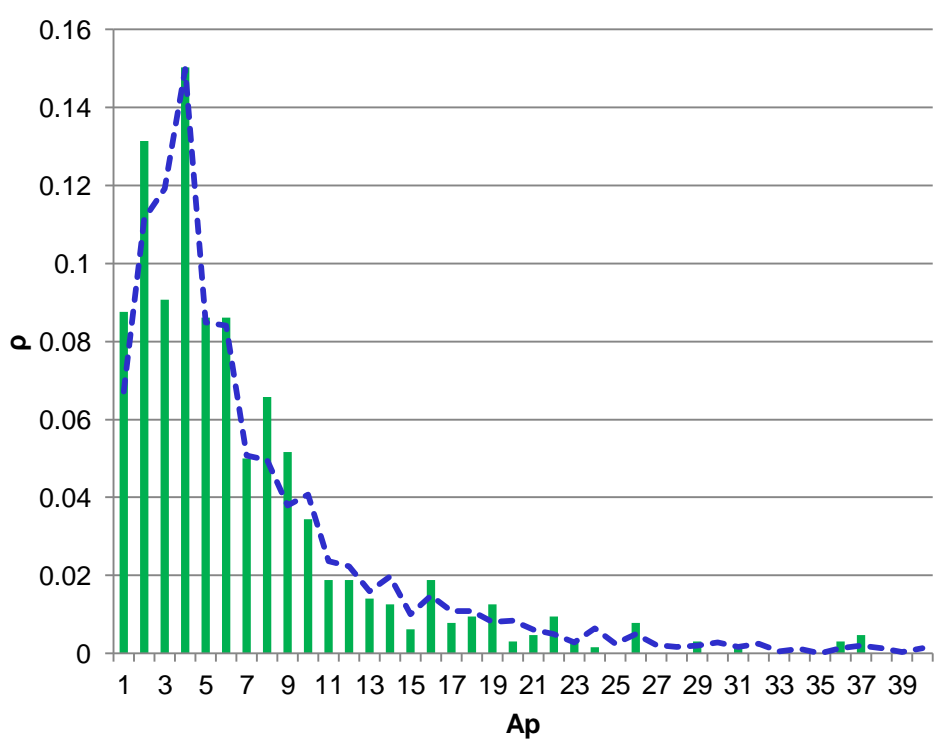




Индексы геомагнитной активности



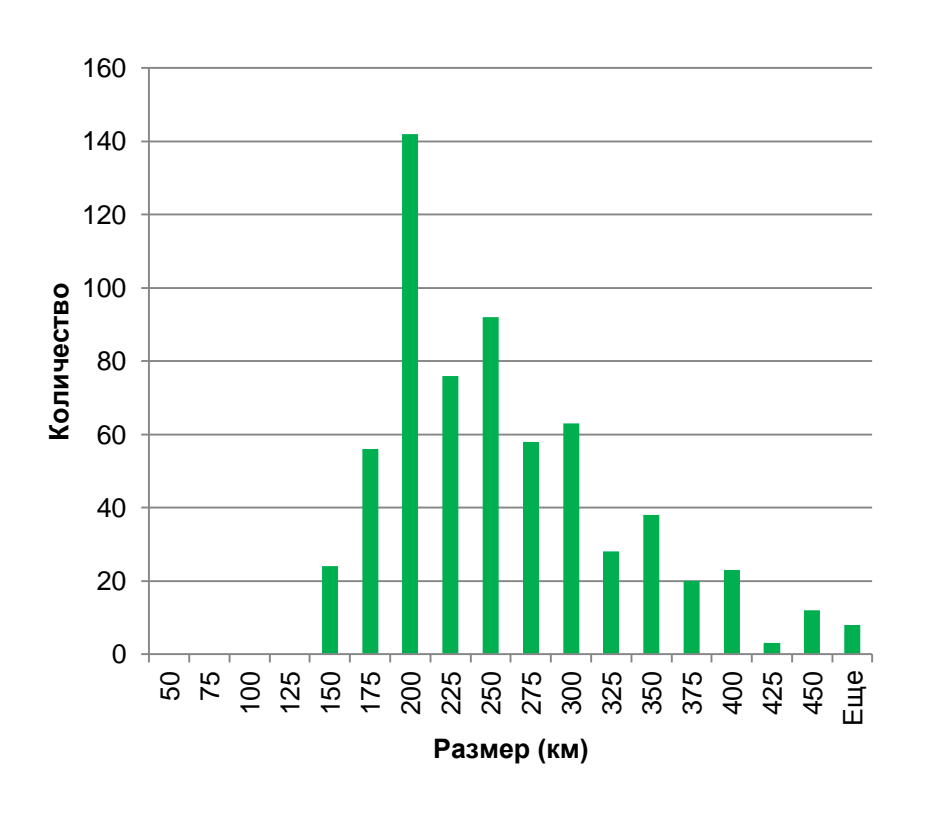


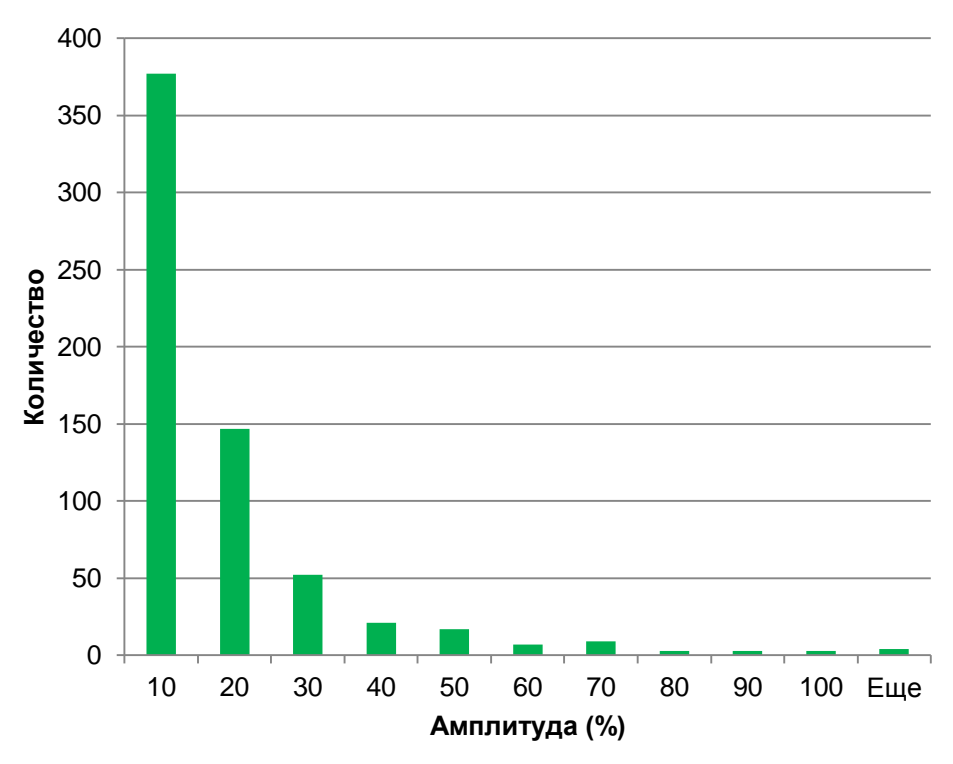




Размер





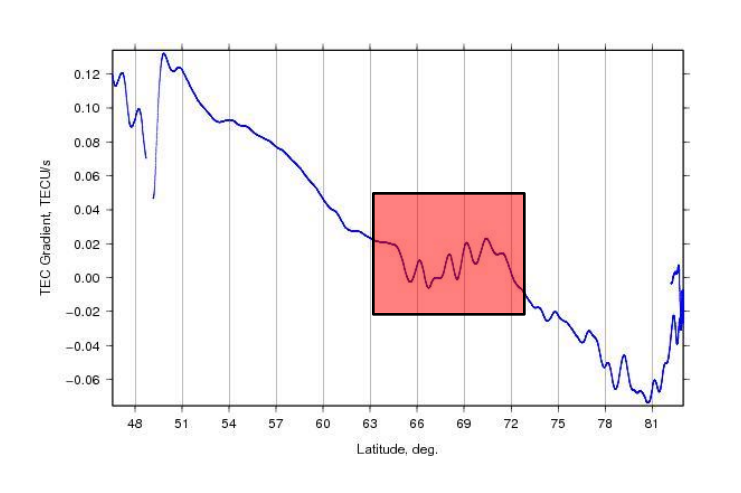




Другие возможности применения НОРТ для исследования ПИВ

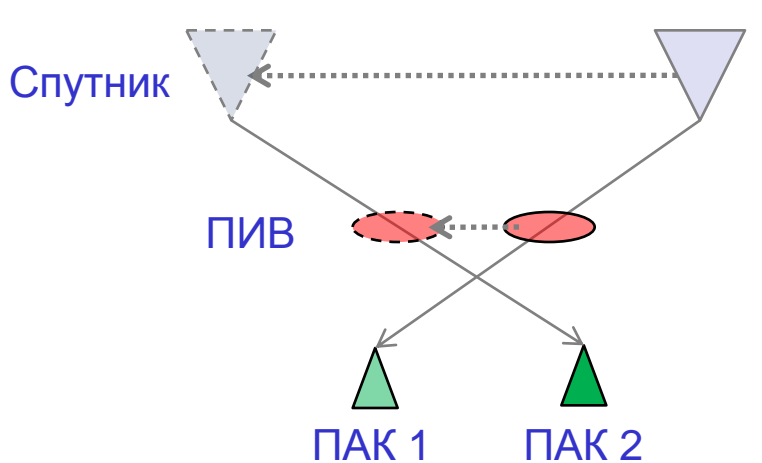


Исследование мелкомасштабных ПИВ.

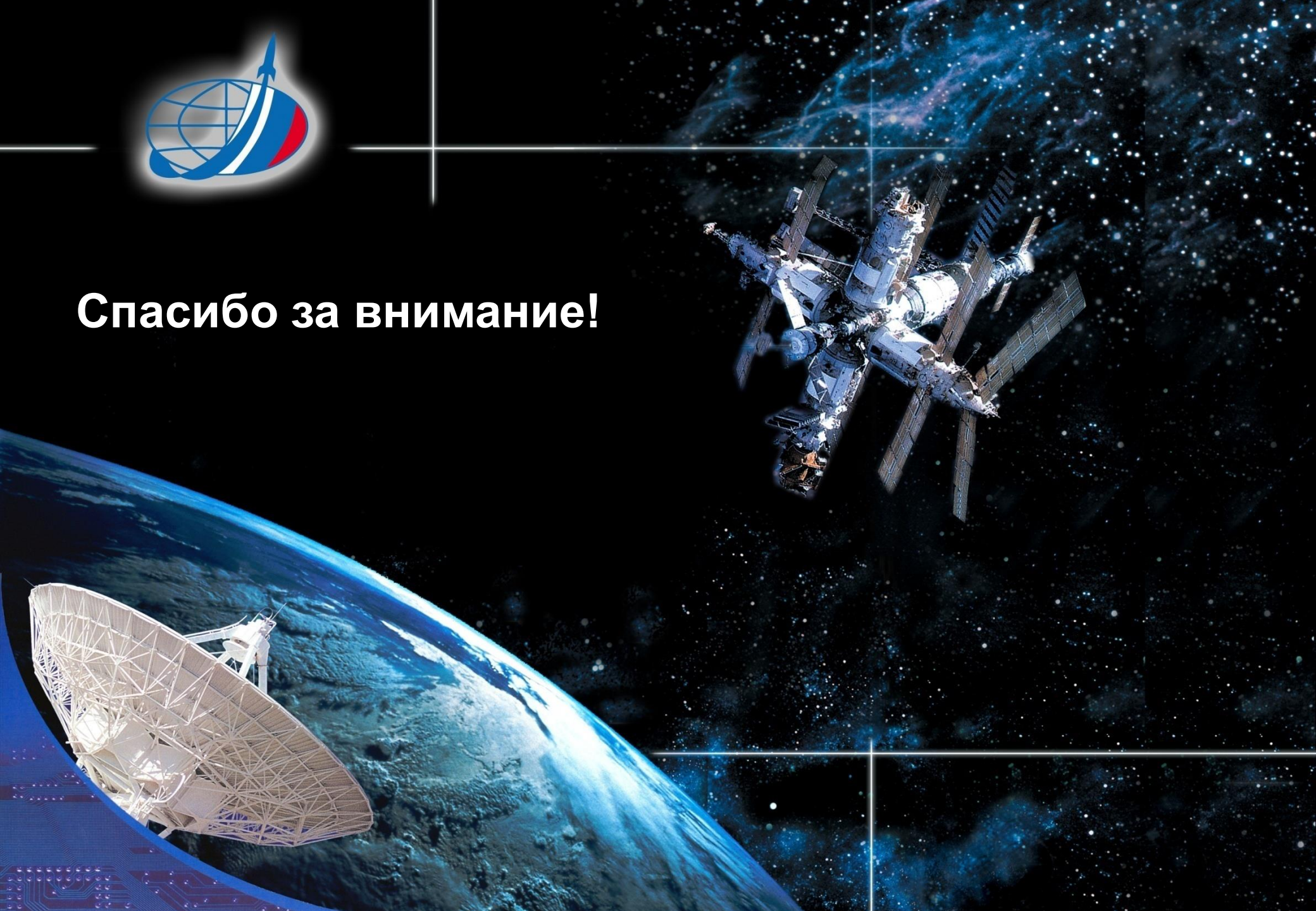


Не восстанавливаются на томограммах, необходим анализ сырых данных с приемников.

Определение скоростей ПИВ.



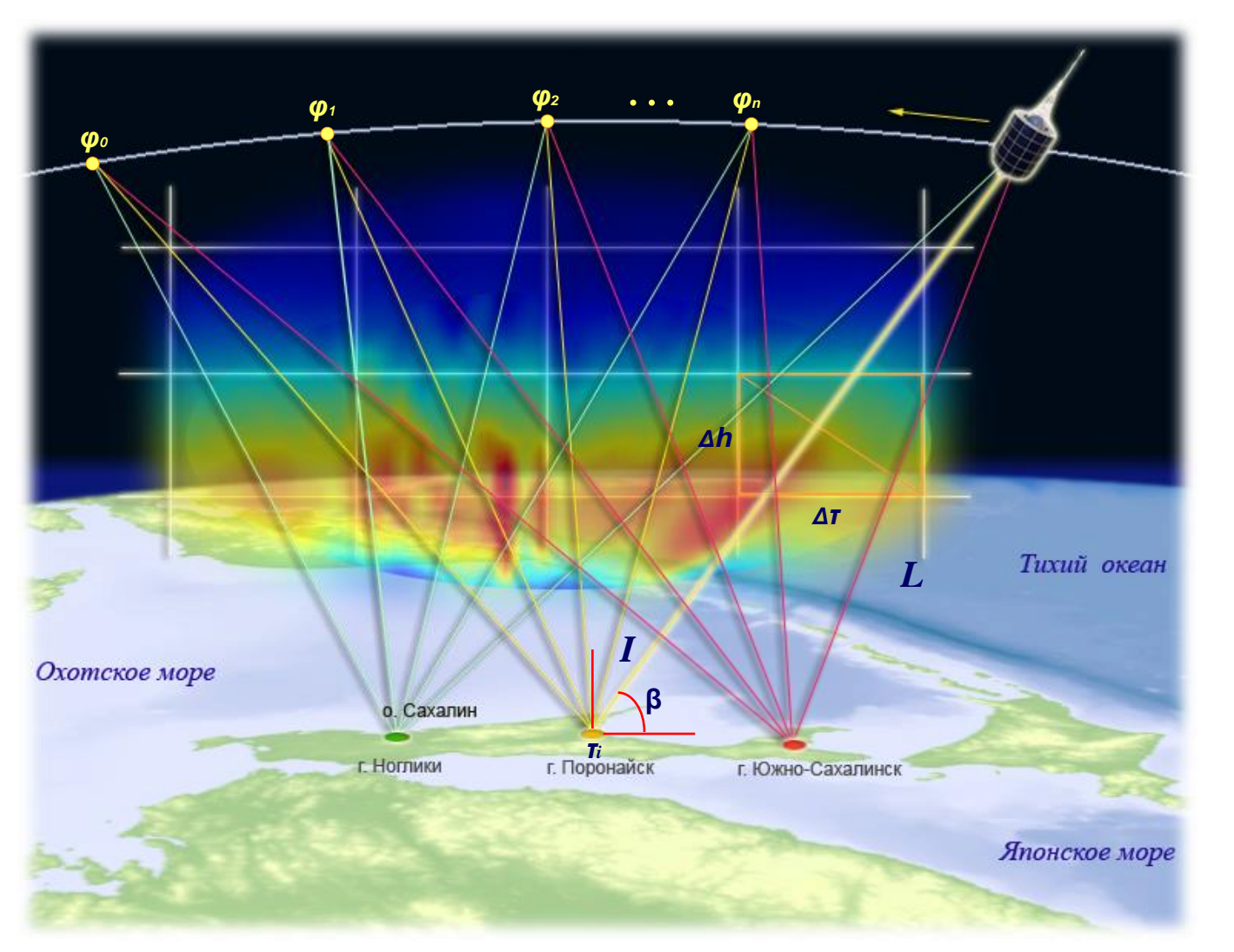
Совместный анализ сырых данных с двух приемников. Определение смещения одного из максимумов за время между пересечением его радиотрассами.





Радиотомографический спутниковый подход к исследованию ионосферы (В.Е.Куницын, 1980)





Основные соотношения:

Постановка задачи

$$\varphi = I = \lambda r_e \int N(h, \tau) dh$$

$$I(\beta, \tau_i) = \int_0^{h_0} \frac{F(h, \tau)(R+h) dh}{\sqrt{R^2 \sin^2 \beta + 2Rh + h^2}}$$

Решение обратной задачи

Формирование системы линейных алгебраических уравнений

$$A_{JM}F_{M} = D_{J},$$

$$D_{J} = \frac{\Delta I_{J}}{\Delta \beta} \quad A_{JM} = \frac{\Delta L_{M}}{\Delta \beta}$$

Итерационный метод решения системы уравнений ART

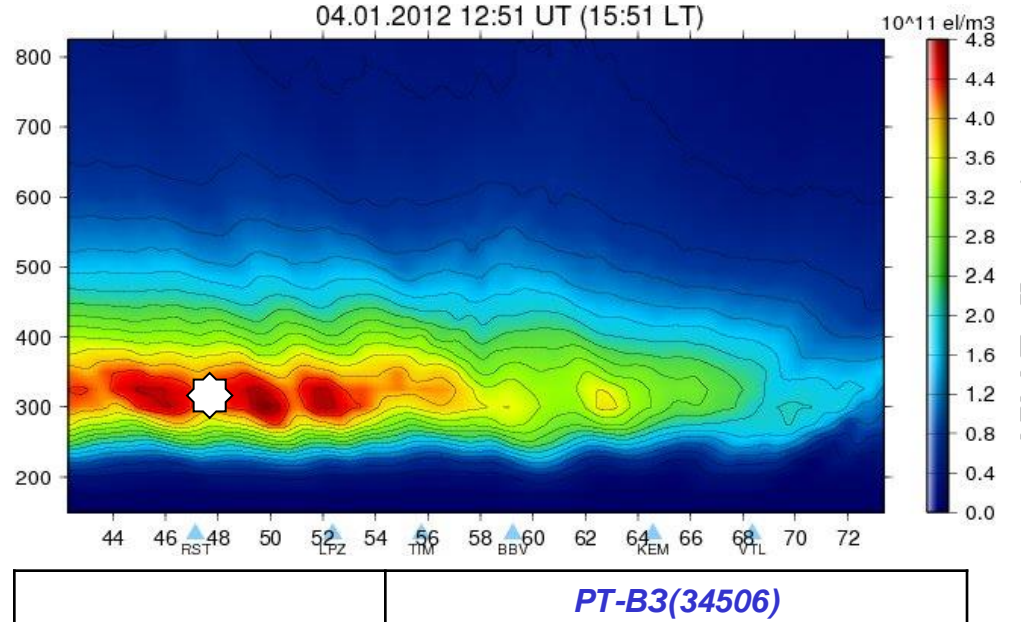
$$f^{k+1} = f^k + \frac{d_i - \langle a^i, f^k \rangle}{\langle a^i, a^i \rangle} a^i$$



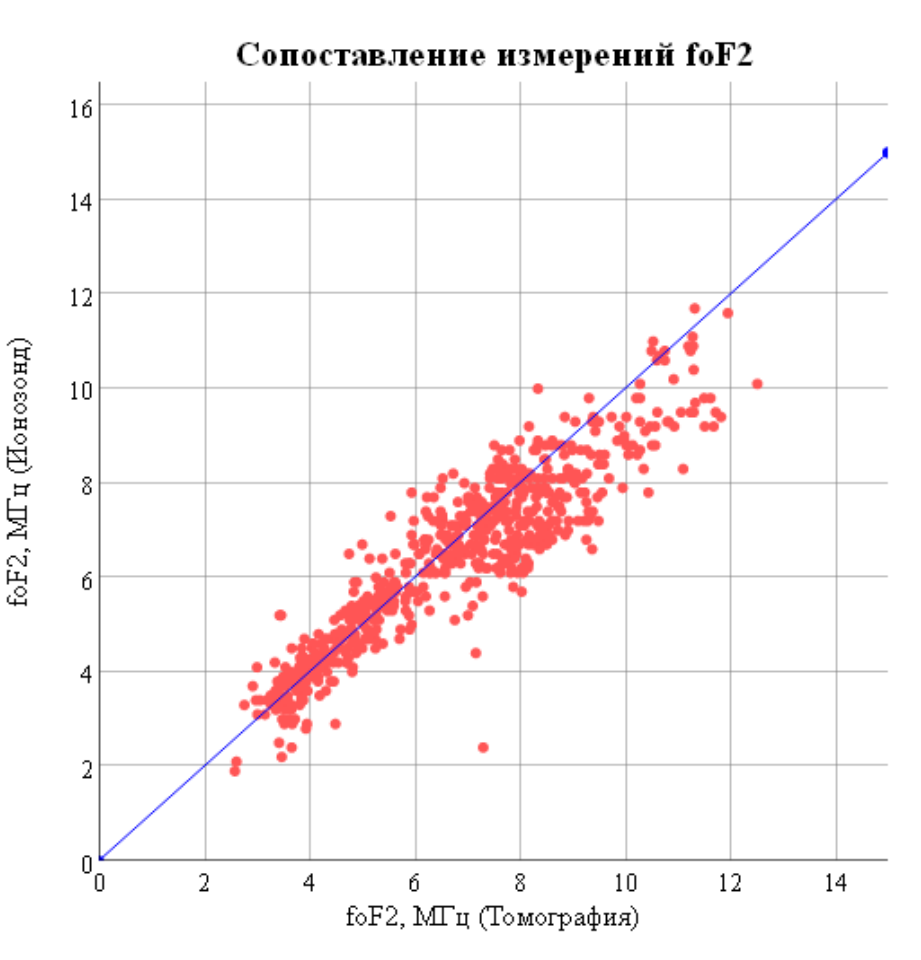
Анализ foF2 ионосферы полученной с помощью томографии и вертикального зондирования ионосферы на средних широтах



Для анализа использованы данные станции вертикального зондирования в Ростове-на-Дону (47.24° с.ш., 39.63° в.д.)



	PT-B3(34506)
средняя невязка	0.65 МГц
дисперсия невязки	0.35 МГц
средняя ошибка	13.3%





Приемный программно-аппаратный комплекс для томографии ионосферы



Антенно-фидерное устройство



Приемник когерентных сигналов



вид спереди



Номиналы принимаемых частот: 150, 400МГц.

Возможность приема: номинал ±300 ppm

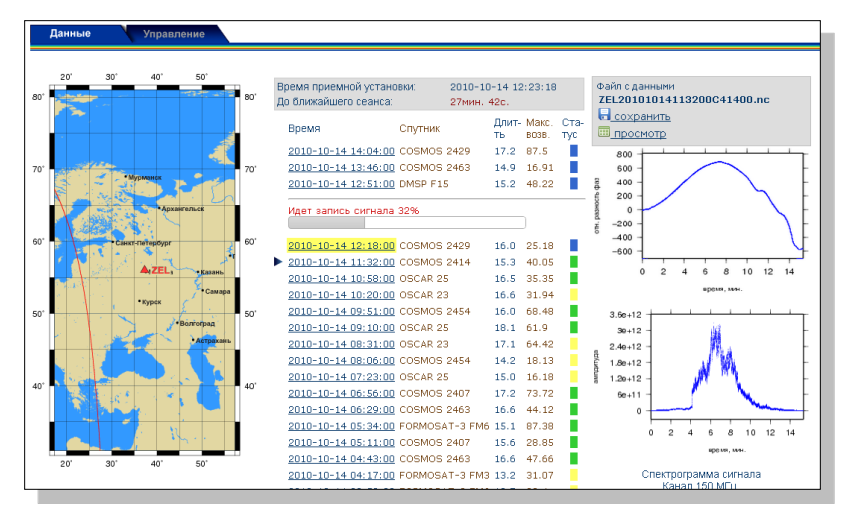
Синхронизация времени: по сети Интернет (NTP, HTP)

Pacчет расписания сеансов: TLE + SGP4

Интерфейс для передачи данных: Ethernet (HTTP)

OC управляющей ЭВМ: Linux OpenSuSe 11.1

Интерфейс управления: веб-интерфейс



Вес приемного устройства: 7 кг

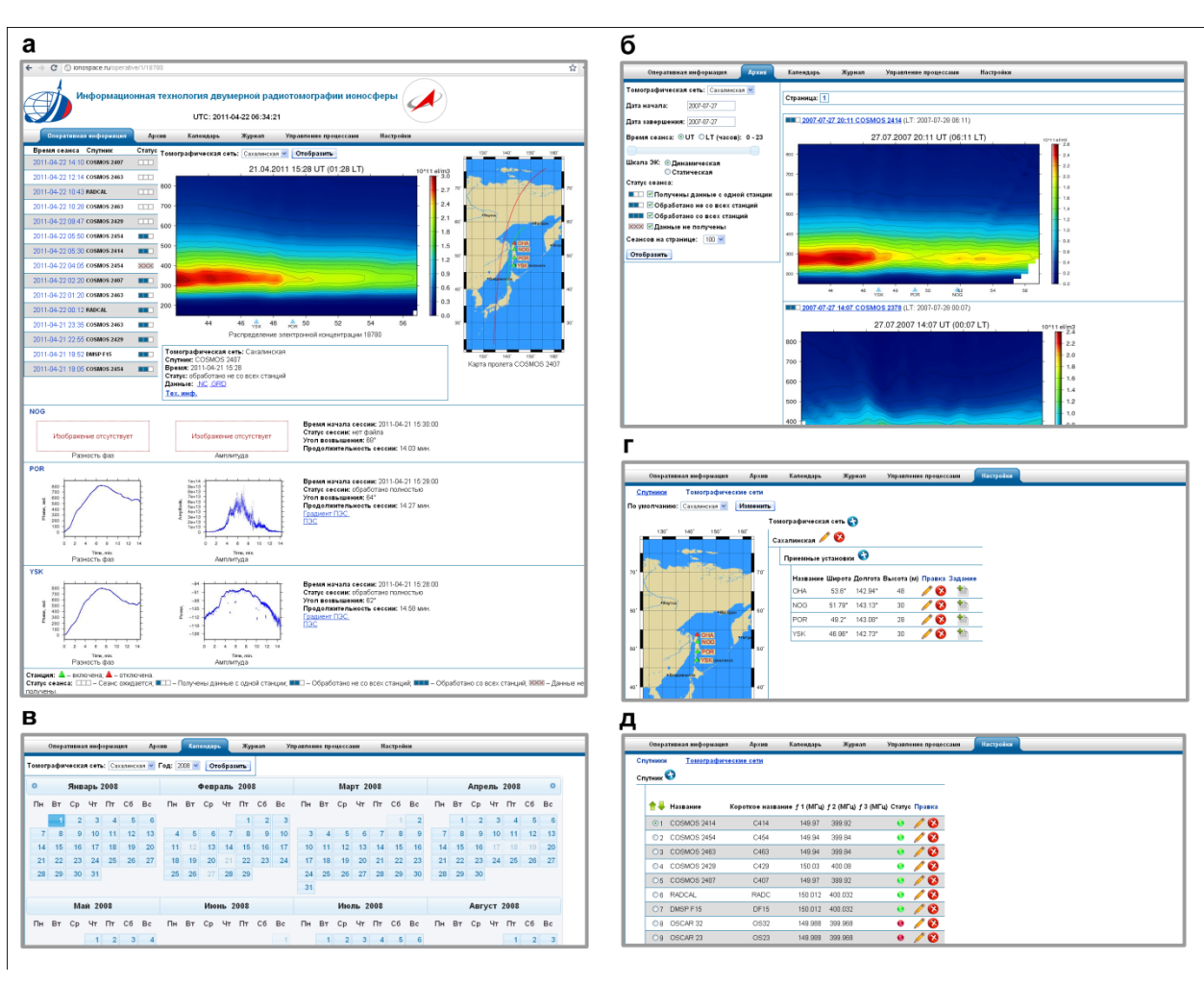
Приемное устройство, ЭВМ и ИБП выполнены в едином корпусе . Аккумулятора встроенного ИБП хватает на 25 минут работы

вид сзади



Фрагменты веб-интерфейсов технологии OXENGY





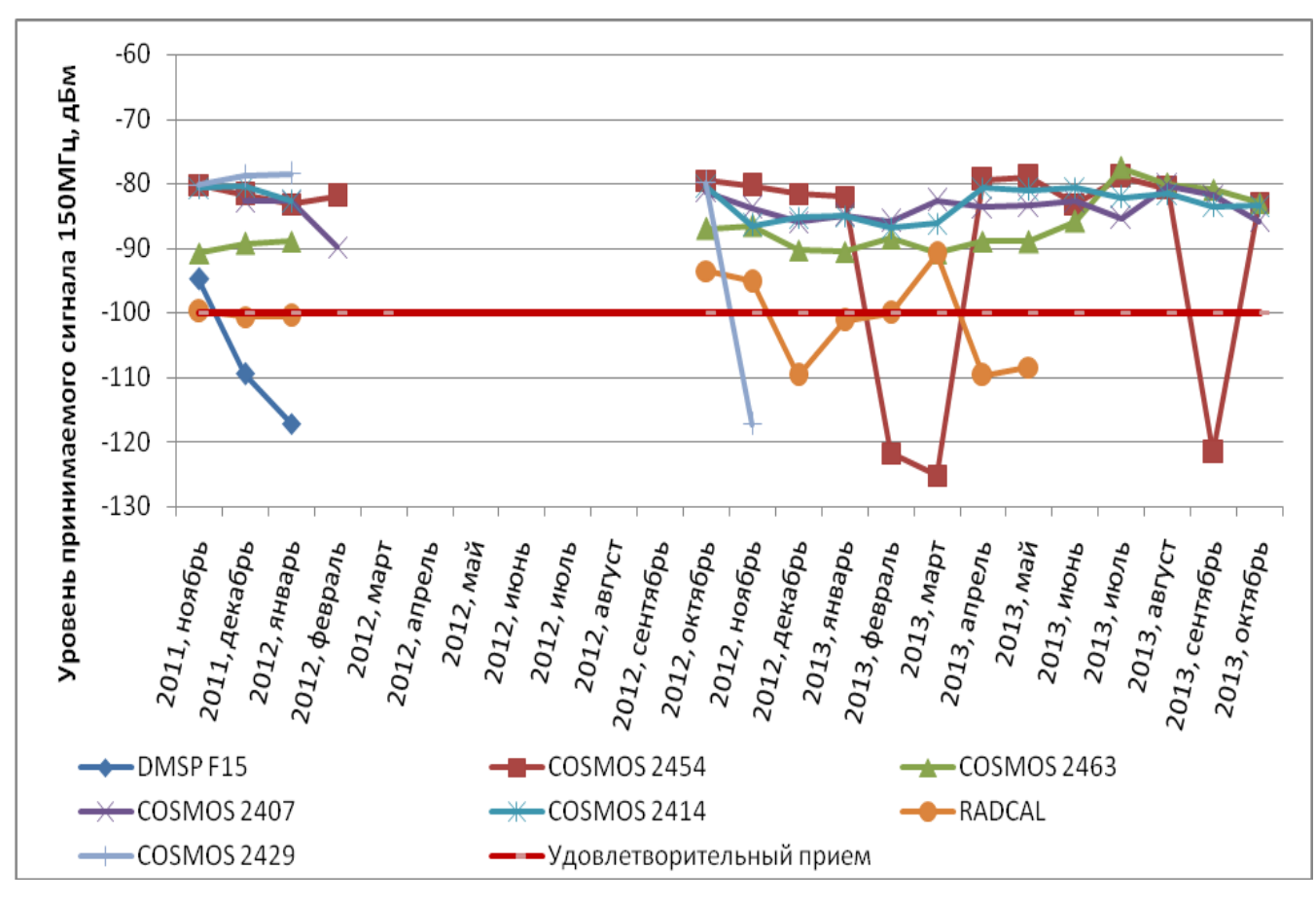
http://ionospace.ru

- а «Оперативная информация»;
- $\mathbf{6}$ «Архив»;
- **в** «Календарь»;
- г «Управление», раздел «Томографические сети»;
- **д** «Управление», раздел «Спутники»



Анализ временной динамики уровня сигнала целевых спутников





Спутник	Запуск	В по-
COSMOS 2407	2004	9
COSMOS 2414	2005	8
COSMOS 2429	2007	6
COSMOS 2454	2009	4
COSMOS 2463	2010	3
DMSP F15	1999	14
RADCAL	1993	20